

**-EXERCICE 30bis.2-**

• **ENONCE :** « Modulateur linéaire à effet Kerr »

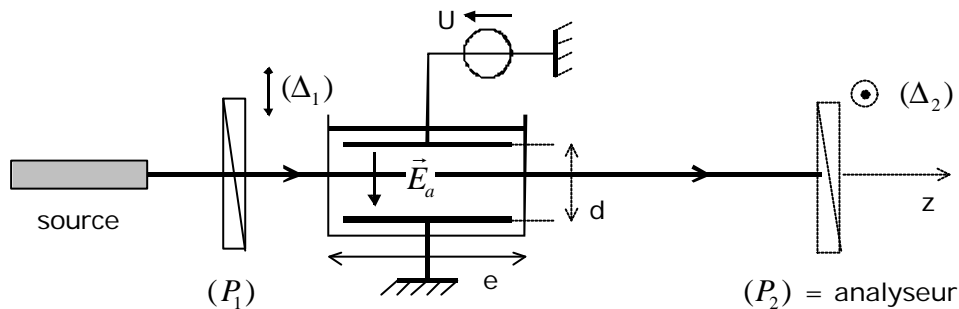
• Un champ électrique appliqué à une substance isotrope peut la rendre anisotrope, et lui communiquer des propriétés de biréfringence : c'est le cas des cellules à effet Kerr.

• L'indice suivant la direction du champ appliqué  $\vec{E}_a$  est extraordinaire ( $n_E$ ), et est ordinaire ( $n_O$ ) selon une direction perpendiculaire.

• Kerr a établi que : 
$$n_E - n_O = k I_0 E_a^2$$

où  $I_0$  = longueur d'onde du faisceau incident, et  $k$  = constant de Kerr

• On considère le montage suivant :



♦ la source émet une onde plane, monochromatique, de longueur d'onde  $I_0$

♦  $(P_1)$  et  $(P_2)$  sont deux polariseurs **croisés**,  $(\Delta_1)$  et  $(\Delta_2)$  représentant leurs directions de polarisation respectives

♦ on considère que  $e \gg d$ , de sorte que le champ  $\vec{E}_a$  est considéré comme uniforme entre les plaques métalliques soumises à la tension  $U$

1) Exprimer le déphasage  $j$  introduit par la cuve entre les rayons extraordinaire et ordinaire, en fonction de  $k, e, d$  et  $U$ .

2) Pour le nitrobenzène (substance toxique), la constante  $k$  vaut  $3,84 \cdot 10^{-12} mV^{-2}$ ; avec  $e = 2cm$  et  $d = 1cm$ , calculer la tension  $U_1$  permettant d'obtenir une lame demi-onde. Conclure quant aux inconvénients d'une telle cellule.

3) Un modulateur de lumière à effet Kerr est réalisé en orientant le champ appliqué  $\vec{E}_a$  à **45° des directions**  $(\Delta_1)$  et  $(\Delta_2)$  : déterminer les composantes du champ électrique  $\vec{E}_1$  du faisceau lumineux en sortie du polariseur  $(P_1)$  (on pourra prendre pour axe Ox la direction du champ appliqué  $\vec{E}_a$ , l'axe Oy lui étant perpendiculaire). En déduire celles du

**EXERCICE D' ORAL**

champ  $\vec{E}_2$  après la cellule à effet Kerr, puis celles du champ électrique  $\vec{E}_3$  en sortie de l'analyseur ( $P_2$ ).

4) Exprimer l'intensité lumineuse  $I_3 = \mathbf{a} \langle E_3^2 \rangle_t$  en fonction de  $I_1 = \mathbf{a} \langle E_1^2 \rangle_t$  et de  $\mathbf{j}$ , puis en fonction de  $I_1, U$  et  $U_1$  ( $\langle \dots \rangle_t$  représente la valeur moyenne temporelle de la grandeur considérée).

5)  $U(t)$  est une tension variable qui s'écrit :  $U(t) = U_0 + u(t)$ , avec  $|u(t)| \ll U_0$ , où  $U_0$  est la valeur de  $U$  pour laquelle la pente de la courbe  $I_3(U)$  est maximale ; montrer qu'au

premier ordre, on peut écrire :

$$I_3(t) \approx \frac{I_1}{2} \left( 1 - \mathbf{p} \times \frac{u(t)}{U_0} \right)$$

En déduire le rôle du montage.

Montrer que cette cellule permet également de fabriquer des **obturateurs**.

• **CORRIGE** : « Modulateur linéaire à effet Kerr »

1) Le déphasage introduit par la cuve s'écrit :  $\mathbf{j} = \frac{2\mathbf{p}}{I_0}(n_E - n_o)e = 2\mathbf{p}kE_a^2e$

Or, le champ appliqué étant uniforme, il vient :  $E_a = \frac{U}{d} \Rightarrow \mathbf{j} = 2\mathbf{p}ke\left(\frac{U}{d}\right)^2$

2) Une lame demi-onde est caractérisée par  $\mathbf{j} = \mathbf{p} \Rightarrow U_1 = \frac{d}{\sqrt{2ke}}$  **A.N :**  $U_1 = 25,5kV$

**Rq :** ce type de cellule utilise un matériau toxique et nécessite des tensions élevées.

3) Le champ  $\vec{E}_1$  est parallèle à l'axe  $(\Delta_1)$ , lui-même à  $45^\circ$  du champ appliqué  $\vec{E}_a$  définissant l'axe Ox  $\Rightarrow$  le champ  $\vec{E}_1$  est également à  $45^\circ$  de l'axe Oy  $\Rightarrow$  sur la base (Ox,Oy), on a :

$$\vec{E}_1 = \frac{E_0}{\sqrt{2}} \cos(\omega t - kz) \vec{e}_x + \frac{E_0}{\sqrt{2}} \cos(\omega t - kz) \vec{e}_y$$

• En tenant compte d'un déphasage  $\mathbf{y}$  commun aux rayons ordinaire et extraordinaire (dû à la traversée de la cuve) et du déphasage supplémentaire  $\mathbf{j}$ , on obtient :

$$\vec{E}_2 = \frac{E_0}{\sqrt{2}} \cos(\omega t - kz - \mathbf{y}) \vec{e}_x + \frac{E_0}{\sqrt{2}} \cos(\omega t - kz - \mathbf{y} + \mathbf{j}) \vec{e}_y$$

• L'analyseur ( $P_2$ ) ne va laisser « passer » que les projections des composantes du champ  $\vec{E}_2$  sur son axe optique  $(\Delta_2)$  ; or  $\vec{e}_x$  et  $\vec{e}_y$  font un angle de  $45^\circ$  avec  $(\Delta_2)$ , d'où :

$\vec{E}_3 = \left[ \frac{1}{\sqrt{2}} \times \frac{E_0}{\sqrt{2}} \cos(\omega t - kz - \mathbf{y}') + \frac{1}{\sqrt{2}} \times \frac{E_0}{\sqrt{2}} \cos(\omega t - kz - \mathbf{y}' + \mathbf{j}) \right] \vec{i}$  ( $\vec{i}$  = vecteur unitaire à  $45^\circ$  de Ox)

$$\Rightarrow \vec{E}_3 = \frac{E_0}{2} \left[ \cos(\omega t - kz - \mathbf{y}') + \cos(\omega t - kz - \mathbf{y}' + \mathbf{j}) \right] \vec{i}$$

4) Sachant que  $\langle \cos^2(\omega t - kz) \rangle_t = 1/2$ , il vient :  $I_1 = \mathbf{a} \times \frac{1}{2} \times \left[ \left( \frac{E_0}{\sqrt{2}} \right)^2 + \left( \frac{E_0}{\sqrt{2}} \right)^2 \right] = \frac{\mathbf{a}E_0^2}{2}$

• On a :

$$I_3 = \frac{\mathbf{a}E_0^2}{4} \left\langle \cos^2(\omega t - kz - \mathbf{y}') + \cos^2(\omega t - kz - \mathbf{y}' + \mathbf{j}) + 2 \times \cos(\omega t - kz - \mathbf{y}') \cos(\omega t - kz - \mathbf{y}' + \mathbf{j}) \right\rangle_t$$

$$\Rightarrow I_3 = \frac{\mathbf{a}E_0^2}{4} \times \left[ \frac{1}{2} + \frac{1}{2} + 2 \times \frac{1}{2} \times \left\langle \cos(2\omega t - 2kz - 2\mathbf{y}' + \mathbf{j}) + \cos \mathbf{j} \right\rangle_t \right] = \frac{\mathbf{a}E_0^2}{4} (1 + \cos \mathbf{j}) \Rightarrow$$

$$I_3 = \frac{I_1}{2} (1 + \cos \mathbf{j})$$

• Par ailleurs, on sait que  $\mathbf{j} = 2\mathbf{p}ke\left(\frac{U}{d}\right)^2 = \mathbf{p}\left(\frac{U}{U_1}\right)^2 \Rightarrow I_3 = \frac{I_1}{2} \left[ 1 + \cos \left( \mathbf{p} \frac{U^2}{U_1^2} \right) \right]$

## EXERCICE D' ORAL

5) La fonction  $1 + \cos x$  a une pente maximum (en valeur absolue) en  $x = \mathbf{p}/2 \Rightarrow$  il s'agit d'une

valeur de tension  $U_0$  telle que :  $\mathbf{p} \frac{U_0^2}{U_1^2} = \frac{\mathbf{p}}{2} \Rightarrow U_0 = \frac{U_1}{\sqrt{2}} \Rightarrow I_3 = \frac{I_1}{2} \left[ 1 + \cos \left( \frac{\mathbf{p}}{2} \times \frac{U^2}{U_0^2} \right) \right]$

• On peut alors passer aux développements limités :

$$\frac{U^2}{U_0^2} = \left( 1 + \frac{u(t)}{U_0} \right)^2 \approx 1 + 2 \frac{u(t)}{U_0} \Rightarrow \cos \left( \frac{\mathbf{p}}{2} \times \frac{U^2}{U_0^2} \right) \approx \cos \left[ \frac{\mathbf{p}}{2} \left( 1 + 2 \frac{u(t)}{U_0} \right) \right] = -\sin \left( \mathbf{p} \frac{u(t)}{U_0} \right) \approx -\mathbf{p} \frac{u(t)}{U_0} \Rightarrow$$

on trouve bien :

$$I_3(t) \approx \frac{I_1}{2} \left( 1 - \mathbf{p} \frac{u(t)}{U_0} \right)$$

• On peut donc moduler de façon **linéaire** l'intensité d'un faisceau lumineux, ceci de manière très rapide : on peut obtenir des périodes de modulation de l'ordre de la nanoseconde.

**Rq :** on peut également fabriquer des **obturateurs** extrêmement rapides ; il suffit que le déphasage  $\mathbf{j}$  varie de  $\mathbf{\lambda}$  à  $\mathbf{p}$ , donc que la tension  $U(t)$  varie de  $\mathbf{\lambda}$  à  $U_1$  (une tension en créneaux de très haute fréquence fera l'affaire...).